

حذف فسفات از آب‌های آلوده با نانو ذرات اکسید نیکل

مهسا میری^۱، شهریار مهدوی^۲، امیرحسین سیاحزاده^۳، رزان سواری^۴
 ۱- دانشجوی کارشناسی ارشد علوم خاک، دانشکده کشاورزی، دانشگاه ملایر، ۲- استادیار گروه علوم خاک، دانشکده کشاورزی،
 دانشگاه ملایر، ۳- استادیار گروه عمران و معماری، دانشگاه ملایر، ۴- دانشجوی کارشناسی ارشد علوم خاک،
 دانشکده کشاورزی، دانشگاه ملایر

چکیده

تخلیه پساب‌های حاوی فسفر به آب‌های سطحی منجر به رشد بیش از حد جلبک‌ها و ایجاد پدیده یوتربیکا‌سیون می‌شود. بنابراین حذف و کنترل مقدار فسفر اضافی از پساب‌های آلوده و خاک ضروری است. در این تحقیق کارایی فرایند جذب فسفات با استفاده از نانو ذرات اکسید نیکل تحت تاثیر عوامل مختلف از جمله پهاش، مدت زمان تماس و مقدار جاذب بررسی و شرایط بهینه تعیین گردید. با اعمال شرایط بهینه‌ایزوتروم جذب انعام گردید و حداقل ظرفیت جذب $7/49$ میلی‌گرم فسفات بر گرم جاذب بدست آمد. از بین معادلات فرون‌دلیچ و لانگمویر، معادله لانگمویر برداههای ایزوترومی این مطالعه برآراش بهتری ($R^2 = 0.98$) یافتند. داده‌ها در مقایسه با سیر مطالعات نشان دادند که نانو ذرات اکسید نیکل می‌تواند به عنوان یک جاذب کارآمد برای حذف فسفات از آب‌های آلوده و خاک مورد استفاده قرار گیرند.

واژگان کلیدی: فسفات، حذف، آب، نانو ذرات اکسید نیکل

مقدمه

یکی از محصولات جانبی که در اثر کاربردهای بهداشتی گوناگون ناشی از فعالیت انسان در دسترس آب قرار می‌گیرد فسفات است. اگر فاضلاب‌ها به دریاچه‌ها اقیانوس‌ها و رودخانه‌ها بدون اصلاح وارد شوند می‌توانند به محیط‌زیست و پس از آن به سلامت انسان آسیب برسانند (Shannon and et al., ۲۰۰۸). فسفاتی که به آب‌های سطحی وارد می‌شود تعادل موجودات زنده در آب را به هم می‌زند و گیفیت آب را از طریق کاهش سطح اکسیژن محلول با تحریک رشد جلبک سبز آبی تحت تاثیر قرار می‌دهد. این جلبک‌ها به نوبه خود اثر مضری بر روی ماهی‌ها و دیگر آبزیان و سبب کاهش تنوع زیستی، اثر نامطلوب بر روی بهداشت محیط و در نهایت انسان دارند (Biswas and et al., ۲۰۰۸). به منظور کنترل واصلاح چنین مشکلاتی و برای حفظ محیط زیست سبز پایدار برای نسل آینده حذف فسفات از فاضلاب قبل از این که به محیط زیست برود ضروری است (Su and et al., ۲۰۱۳). با توجه به این مسئله قوانین جدیدی که از دقت بیشتری برخوردار بودند برای تخلیه فسفات وضع شدند که نتیجه آن توسعه روش‌های موثری برای حذف فسفات از فاضلاب قبل از تخلیه آن به محیط زیست است. مقررات استانداردهایی برای کیفیت پساب‌ها وجود دارد که در آن‌ها مقدار فسفات حداقل بین $1/۰$ تا $۵/۰$ میلی‌گرم بر لیتر یا حتی در بعضی از موارد کمتر از $۳/۰$ میلی‌گرم بر لیتر برای رسیدن به حالت استاندارد توصیه شده است (Liu and et al., ۲۰۰۸). روش حذف فسفات از جمله رسمو شیمیایی بصورت (منیزیم آمونیوم فسفات)، (هیدروکسی آپاتیت) و فرآیندهای جذب و روش‌های بیولوژیک به طور گسترده‌ای مورد استفاده قرار گرفته‌اند (Tsuji and et al., ۲۰۱۲). تبادل آئیونی نیز از روش‌های بسیار معمول است اما آنها هم کاستی‌های مختلفی مانند جذب کم در حضور آئیون‌های رقیب دارند (Tsuji and et al., ۲۰۱۲). نانو تکنولوژی فرآیندی است که در جلوگیری از آلودگی، شناسایی، اندازه گیری و تصفیه آلاینده‌ها نقش مهمی دارد. از آنجا که اکسیدهای فلزی در ابعاد نانو سطح ویژه بزرگتری دارند فسفات بیشتری جذب می‌کنند و در نتیجه موثرترند (Tang and et al., ۲۰۱۲). نانو ذرات اموف اکسید زیر کونیوم ممکن است بدلیل ساختار متخلخل و بسیار هیدراته خود ظرفیت جذب بالایی داشته باشند (Su and et al., ۲۰۱۳). هدف از این تحقیق بررسی امکان حذف فسفات توسط نانو ذرات اکسید نیکل از آب‌های آلوده تحت متغیرهای: پهاش، زمان تماس، غلظت نانو ذره و ایزوتروم می‌باشد.

مواد و روش‌ها

آزمایش‌های جذب

این مطالعه از نوع کاربردی است. ابتدا متغیرهایی از قبیل زمان تماس، پهاش، مقدار جاذب و غلظت فسفات مورد بررسی قرار گرفت. در این پژوهش از نانو ذرات اکسید نیکل به عنوان جاذب استفاده شد. این نانو ذره‌ها کسیدنیکل مورد استفاده از شرکت Tecnan خریداری شد. ضمناً کلیه مواد شیمیایی و استانداردها از شرکت مرک با درجه خلوص بالا (GR) تهیه شد.
 ۱- تاثیر زمان تماس بر میزان جذب:

بررسی اثر زمان تماس مقدار ۰۲۵/۰ گرم از نانوذرات اکسیدنیکل را در مجاورت ۵/۱۲ میلی لیتر از محلول با غلظت اولیه ۰۰۰ میلی گرم بر لیتر فسفات قرار داده شدو سپس میزان جذب هر یک از نمونه ها در فواصل زمانی (۱۰ - ۱۴۰ دقیقه) مورد انالیز قرار گرفتند.

۲- تاثیر پهاش بر میزان جذب:

در ابتدا پهاش محلول ها را بین ۲ تا ۸ تنظیم نموده سپس مقدار ۰۲۵/۰ گرم از نانوذرات اکسیدنیکل را در مجاورت ۵/۱۲ میلی لیتر از محلول نیترات با غلظت ۰۲۰۰ میلی گرم بر لیتر پهاش مشخص در مدت زمان تماس ۱۴۰ دقیقه قرار داده شد. در پهاش های مختلف عمل نمونه گیری و آنالیز میزان جذب فسفات انجام و پهاش بهینه تعیین شد.

۳- بررسی تاثیر غلظت نانوذره اکسیدنیکل (جادب) بر میزان جذب:

به منظور تعیین مقدار بهینه نانوذره اکسیدنیکل مقادیر مختلف نانوذره اکسیدنیکل شامل غلظت های ۱، ۲، ۳، ۴ و ۵ گرم بر لیترو م محلول پایه ای ۰۰۰ میلی گرم بر لیتر فسفات در مدت زمان تماس ۱۴۰ دقیقه اضافه گردیدند.

۴- بررسی تاثیر غلظت های مختلف فسفات بر میزان جذب (ایزوترم های جذب):

جهت تعیین غلظت بهینه جذب فسفات محلول های ۲۵، ۵۰، ۱۰۰، ۱۵۰ و ۲۰۰ میلی گرم بر لیتر فسفات با پهاش بهینه ۶ و زمان بهینه ۱۸۰ دقیقه در دمای بهینه ۲۵ درجه سانتی گراد را در مجاورت غلظت بهینه ۰۲۵/۰ گرم در ۱۲ سی سی از غلظت های ذکر شده فسفات قرار می دهیم.

به منظور بررسی همدماجی جذب و تعیین حداکثر ظرفیت جذب از معادله ایزوترمی لانگمویر استفاده شد که فرم خطی آن به صورت زیر است :

$$\text{معادله (۱)}: C/q = 1/kb + C/b$$

ه: غلظت تعادلی جذب شونده در محلول بر حسب میلی گرم در لیتر

K: ثابتی که مربوط به قدرت پیوند با قدرت جذب می باشد

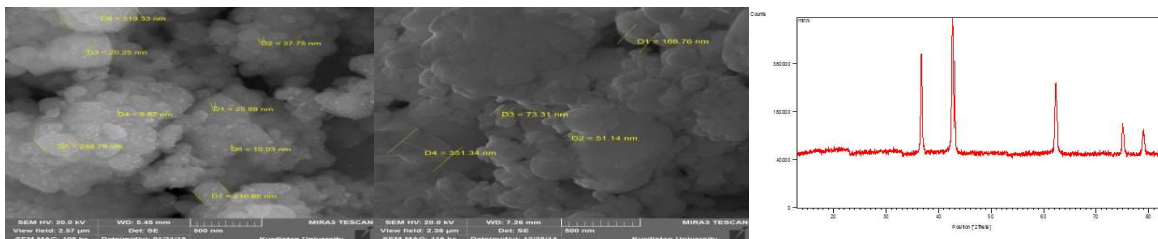
q: میزان جذب بر حسب میلی گرم در گرو جاذب

b: ماکزیمم جذب

جهت تعیین غلظت فسفات تعادلی در محلول از سیستم اسپکتروفوتومتر طول موج ۸۲۰ آنگستروم با استفاده از رنگ سنجی به روش فسفومولیبدات استفاده گردید.

بحث و نتیجه گیری

به منظور تعیین مشخصات ساختاری نانوذرات اکسیدنیکل از تکنیک های پرتو ایکس (XRD) و میکروسکوپ الکترونی پویشی (SEM) استفاده گردید. عکس های XRD و SEM نانوذرات اکسیدنیکل به ترتیب در شکل های زیر نشان داده شده اند.



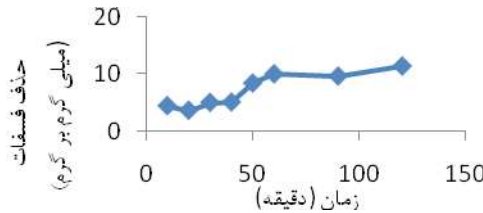
نانوذرات اکسیدنیکل SEM نانوذرات اکسیدنیکل قبل جذب شکل ۳- عکس XRD نانوذرات اکسیدنیکل شکل ۲- عکس بعد جذب

شکل های SEM بیانگر جذب فسفات بر روی نانوذره ای اکسیدنیکل می باشد. با توجه به این شکل ها مشخص می گردد که قطر این نانوذره قبل از جذب ۱۳/۱۶۱ نانومتر و بعد از جذب ۱۸/۱۳۵ نانومتر می باشد.

با توجه به شکل های XRD اندازه ذرات برابر با ۱/۳۷ نانومتر است.

جهت انجام این تحقیق، ابتدا تاثیر زمان تماس سپس تاثیر پهاش بر میزان جذب فسفات مطابق شکل (۴) می باشد:

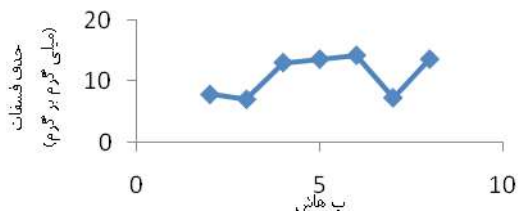
چهاردهمین کنگره علوم خاک ایران - شیمی حاصلخیزی و تغذیه گیاه



شکل ۴- تاثیر زمان‌های تماس بر میزان جذب نانو ذره اکسید نیکل

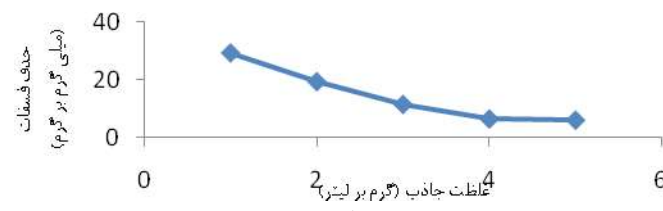
با افزایش زمان تماس میزان حذف افزایش می‌یابد. همانگونه که در شکل (۴) مشاهده می‌کنیم در زمان ۱۸۰ دقیقه حداقل میزان حذف ۱۴/۶ میلی گرم برگرم فسفات مشاهده شد.

نتایج حاصل از تاثیر پهاش‌های مختلف بر میزان حذف فسفات مطابق شکل (۵) می‌باشد با افزایش پهاش میزان حذف فسفات افزایش یافت. در محدوده پهاش ۲ تا ۶ میزان حذف سیر صعودی داشته بطوریکه در پهاش ۶ حداقل حذف را داشته و بعد از آن مجدداً کاهش می‌یابد. در پهاش‌های قلیایی یون OH^- به عنوان یک رقیب برای آئینون‌های فسفات عمل نموده و برخی از جایگاه‌های نانو ذرات اکسید نیکل را اشغال می‌کند. طبق مطالعات انجام شده در حذف فسفات، بهترین میزان جذب توسط رس در پهاش برابر ۶ تا ۷ و آلومنیای فعال در پهاش برابر ۵/۶ به دست آمده است (Chi and et al., ۲۰۱۰ و Liu and et al., ۲۰۰۷).



شکل ۵- تاثیر پهاش‌های مختلف بر میزان حذف نانو ذره اکسید نیکل

نتایج حاصل از مقادیر مختلف غلظت نانو ذرات اکسید نیکل مطابق شکل (۶) می‌باشد.

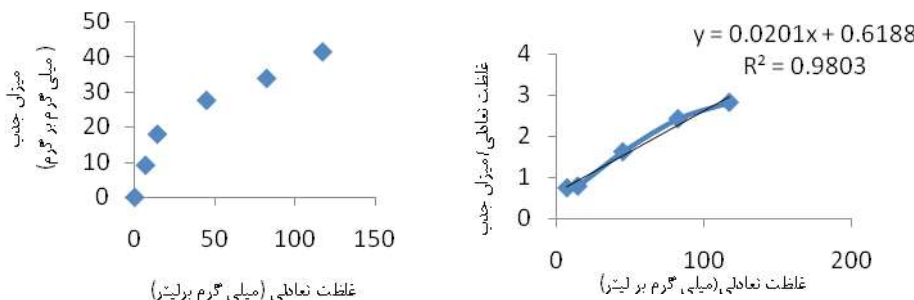


شکل ۶- تاثیر غلظت‌های مختلف نانو ذرات اکسید نیکل بر میزان حذف فسفات

نتایج حاصل از بررسی تاثیر غلظت جاذب بر جذب فسفات در شکل (۶) نشان داده شده است. داده‌های اینگر این است که با افزایش میزان غلظت جاذب، میزان جذب کاهش می‌یابد. که حداقل درصد حذف در غلظت ۲ گرم در لیتر برابر با ۱۳/۱۲ میلی گرم برگرم جاذب بدست آمد. این امر به دلیل افزایش میزان برخورد و آزاد بودن باندهای امداده روی نانو ذرات اکسید نیکل است. این نتایج بدست آمده توسط جانگ و همکاران (۲۰۰۷) در جذب فسفات بوسیله گل قرمز فعال (active red mud) و همچنین بلیر و همکاران (۲۰۰۶) در حذف فسفر بوسیله آپاتیت و همچنین ژانگ و همکاران (۲۰۱۱) در حذف فسفات بوسیله هیدروکسیدهای با لایه دوگانه نیز تایید شده است.

با توجه به نتایج بدست آمده از آزمایشات ایزوترم جذب ظرفیت جذب تعیین گردید. حداقل ظرفیت جذب نانو ذرات اکسید نیکل برابر با ۷/۴۹ میلی گرم فسفات به ازای هر گرم از جاذب بدست آمد. نتایج حاصل از مطالعات ایزوترمی نشان داد که حذف فسفات از معادله لانگمویر با ضریب تبیین (R^2) برابر با ۹۸٪ بدست آمد بنابراین می‌توان گفت که سطح جاذب حالت ناهمگنی دارد.

با افزایش غلظت اولیه فسفات از ۲۵ به ۲۰۰ میلی گرم در لیتر ظرفیت جذب از ۱/۹ به ۷/۴۹ میلی گرم در گرم افزایش می‌یابد. این امر می‌تواند ناشی از زیاد بودن باندهای آزاد جاذب و باندهای تبادل یون باشد (ملکوتیان و همکاران، ۱۳۸۹). علاوه بر این در سیستم‌های جذب مجاورتی، غلظت ورودی فسفات موجود در محلول نقش مهمی را به عنوان نیروی محركه غلبه کننده بر مقاومت ناشی از انتقال جرم بین فاز مایع و جامد ایفا می‌نماید و بنابر این با افزایش غلظت فسفات در محلول ورودی، ظرفیت جذب فسفات جذب شده، افزایش می‌یابد (Zhang and Xu., ۲۰۱۱). نتایجی که در این پژوهش بدست آمد توسط نتایج دریزو و همکاران (۲۰۰۶) در جذب فسفات بوسیله یسربار کوره‌فسفات و کریشنام و همکاران (۲۰۰۸) در حذف فسفات بوسیله pith coir نیز تایید شده است.



شکل ۹: ایزوترم جذب برآش یافته با معادله لانگموبرشکل ۸- ایزوترم نانوذرات نیکل

جدول ۱- مقایسه بین جاذب مورد بررسی در این پژوهش و سایر جاذب‌ها در جذب فسفات

| Adsorbent | Sorption Capacity (mg g⁻¹) -P PO₄³⁻ | pH | Temperature | Reference |
|---------------------------------|-------------------------------------|-----|-------------|---------------------|
| mesoporous ZrO₂ | ۷۱/۲۹ | ۱۰ | ۲۵ | Liu et al, ۲۰۰۸ |
| Zirconium ferrite | ۱۳ | ۷ | ۲۵ | .Biswas et al, ۲۰۰۸ |
| Zirconium-loaded collagen fiber | ۴۷/۲۸ | ۳/۶ | ۲۵ | Liao et al, ۲۰۰۶ |
| nickel oxide nanoparticles | ۷/۴۹ | ۶ | ۲۵ | This study |

نتیجه گیری

در غلظت جاذب ۲ گرم در لیتر میزان جذب ۱/۱۲ میلی گرم در گرم، زمان ۱۸۰ دقیقه میزان جذب ۶/۱۴ میلی گرم در گرم و پهاش ۶ میزان جذب ۲/۱۴ میلی گرم در گرم به دست آمد. با استفاده از معادله لانگمویر حداقل ظرفیت جذب فسفات در گرم جاذب می‌یابند. بنابراین این نانوذره، میتواند جاذب مناسبی برای حذف فسفر در محلول‌های آبی باشد.

منابع

- Biswas B, Inoue K, Ghimire K, Harada H, Ohto K, Kawakita H. ۲۰۰۸. Removal and recovery of phosphorus from water by means of adsorption onto orange waste gel loaded with zirconium. *Bioresource Technology* ۹۹:۸۶۸۵-۸۶۹۰.
- Chi N, Dong B, Liao Y. ۲۰۱۰. Advanced phosphate removal by adsorption onto activated al porcelain in simulation water. *Coll. of Environ. Sci. and Eng*, ۱۸: ۱-۴.
- Cucarella V, Renman G, Qual J. ۲۰۰۹. Phosphorus sorption capacity of filter materials used for on-site wastewater treatment determined in batch experiments-a comparative study. *Environ. Qual*, ۳۸:۳۸۱-۳۹۲.
- Krishnan K and Haridas A. ۲۰۰۸. Removal of phosphate from aqueous solutions and sewage usin natural and surface modified coir pith. *J. of Hazardous Materials*, ۱۵۲: ۵۲۷-۵۳۵.
- Liu C, Li Y, Luan Z, Chen Z, Zhang Z, Jia P. (۲۰۰۷). Adsorption removal of phosphate from aqueous solution by active red mud. *Environmental Sciences*, ۱۹: ۱۱۶۶-۱۱۷۰.



چهاردهمین کنگره علوم خاک ایران - شیمی حاصلخیزی و تغذیه گیاه

Liu H, Sun X, Yin C, Hu C. ۲۰۰۸. Removal of phosphate by mesoporous ZrO_۳. Journal of Hazardous Materials, ۱۵۱: ۶۱۶-۶۲۲.

Shannon M, Bohn P, Elimelech M, Georgiadis J, Marinas B, Mayes A. ۲۰۰۸. Science and tech purification in the coming decades. Nature, ۴۵۲: ۳۰۱-۳۱۰.

Su Y, Cui H, Li Q, Gao S, Shang J. ۲۰۱۲. Strong adsorption of phosphate by amorphous zirconium oxide nanoparticles. Water Research, ۴۷: ۵۰۱۸-۵۰۲۸.

Tang M, Zong E, Wan H, Xu Z, Zheng S, Zhu D. ۲۰۱۲. Zirconia functionalized SBA-۱۵ as effective adsorbent for phosphate removal. Microporous and Mesoporous Materials, ۱۵۵: ۱۹۲-۲۰۰.

Tsuji M. ۲۰۰۲. SeO^{۴-}-selective properties of inorganic materials synthesized by the soft chemical process. Solid State Ion, ۱۵۱: ۳۸۵-۳۹۲.

Zhang G and Xu J. ۲۰۱۱. Competitive adsorption of fluoride and phosphate on mgal-co^{۲+} layered double layer. Advanced Materials Research, 160 - 162, 182-188.

Abstract

Phosphorus sludge discharged to surface lead to excessive growth algae and eutrophication. So remove and control excess phosphorus from waters and contaminated soils is essential. In this study efficiency sorption process using nickel oxide nanoparticles under the influence of various factors including PH, time, the amount of adsorbent and optimal conditions were determined. In optimal condition, the adsorption isotherm was performed at ۲۰۰ mg/l of phosphate and in this manner the adsorption capacity was obtained ۴۹.۷ mg/g. Freundlich equation fitted to data in this study ($R^2 = 0.98$). Data in comparison with the other studies have shown that nickel oxidenanoparticles can be used as an effective adsorbent to remove phosphates from contaminated soil and water.